



تأثیر مخلوط پودری نانوساختار آلومینا-تیتانیا بر ریزساختار و خواص مکانیکی کامپوزیت Al_2O_3 -20 wt% Al_2TiO_5

شهرزاد محسنی میبدی^۱، هادی بزرگ بفروئی^{۳،۲،۱*} و تورج عبادزاده^۲

- ۱- دانشگاه آزاد اسلامی، واحد میبد
- ۲- پژوهشکده سرامیک، پژوهشگاه مواد و انرژی، کرج
- ۳- دانشکده فنی، دانشگاه تربیت مدرس

تاریخ ثبت اولیه: ۱۳۸۹/۰۳/۱۴، تاریخ دریافت نسخه اصلاح شده: ۱۳۸۹/۰۴/۲۵، تاریخ پذیرش قطعی: ۱۳۸۹/۰۶/۲۱

چکیده

در این تحقیق از مخلوط نانوپودرهای اکسید تیتانیوم و آلومینا جهت ساخت کامپوزیت Al_2O_3 -20wt% Al_2TiO_5 با استفاده از روش زینتر واکنشی استفاده شد. جهت سینتر واکنشی، نمونه‌ها در دماهای ۱۴۰۰، ۱۳۰۰ و ۱۵۰۰ °C حرارت داده شدند. نتایج حاصل از الگوی پراش اشعه ایکس (XRD) نشان داد هر سه فازهای اصلی Al_2O_3 و Al_2TiO_5 تشکیل شده است. با سینترینگ نمونه‌ها تا دمای ۱۵۰۰ °C دانسیته نمونه تا ۹۶/۹ درصد دانسیته تغیر افزایش یافت. تصاویر SEM نشان داد که فصل مشترک مناسبی بین دانه‌های Al_2O_3 و Al_2TiO_5 ایجاد شده است. نتایج حاصل از سختی سنگی و چفرمگی نشان داد که با افزایش دما از ۱۳۰۰ °C به ۱۵۰۰ °C سختی و چفرمگی به ترتیب تا ۴/۲۸ MPan^{1/2} و ۸/۵ GPa افزایش می‌یابد.

واژه‌های کلیدی: پودر نانوساختار، آلومینیوم تیتانات، ریزساختار، خواص مکانیکی.

اضافه کردن فازهای ثانویه مناسب به آلومینا یک راه موثر برای کاهش دمای زینترینگ، کنترل ریزساختار و در

نتیجه بهبود خواص مکانیکی آن می‌باشد [۱-۶]. آلومینیوم تیتانات (Al_2TiO_5) یک سرامیک اکسیدی با ساختار مینرال پزئوبروکیت است که با خواصی همچون ضریب انبساط حرارتی پایین ($1\times 10^{-6} - 1\times 10^{-6}$ °C)، رسانایی حرارتی پایین ($0.9-1/5 \text{ Wm}^{-1} \text{ K}^{-1}$) و مقاومت به شوک حرارتی عالی (حدود 500 Wm^{-1}) شناخته شده

۱- مقدمه

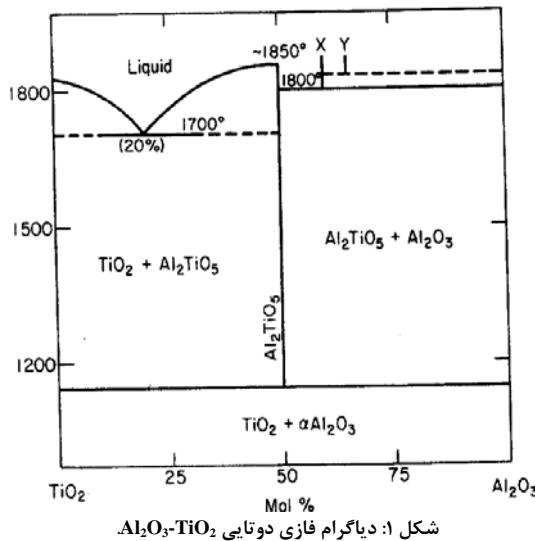
آلومینا به طور وسیع در بسیاری از زمینه‌ها به دلیل خواص عالی آن، مانند دمای ذوب بالا، استحکام، سختی، مقاومت به خوردگی و سایش مورد استفاده قرار می‌گیرد [۱]. با این حال دمای زینترینگ نسبتاً بالا و چفرمگی شکست پایین، کاربردهای آن را در برخی از حوزه‌ها محدود کرده است. این امر اثبات شده است که

* عهده‌دار مکاتبات: هادی بزرگ بفروئی

نشانی: کرج، مشکین دشت، پژوهشگاه مواد و انرژی

تلفن: ۰۲۶-۰۴۱۳۱-۰۶۲۰، دوونگار، ۰۶۲۱-۰۲۶۱، پست الکترونیکی: hadi.merc@gmail.com

می‌توان به وسیله سنتر مستقیم از Al_2O_3 و Al_2TiO_5 یا Al_2O_3 و TiO_2 بدست آورد. مطابق با واکنش حالت جامد Al_2O_3 و Al_2TiO_5 بود. محدوده ارزیابی‌ها صورت گرفته، رفتار رشد دانه‌های Al_2O_3 ، محدوده از Al_2O_3 در کامپوزیت‌های $\text{Al}_2\text{O}_3 - \text{Al}_2\text{TiO}_5$ ، استفاده از Al_2O_3 در عنوان پودر آغازین نسبت به استفاده از TiO_2 و Al_2O_3 و Al_2TiO_5 و Al_2O_3 مفیدتر خواهد بود [۲۹]. این نشان می‌دهد که انتخاب یا تولید پودرهای آغازین برای آماده سازی کامپوزیت‌های $\text{Al}_2\text{O}_3 - \text{Al}_2\text{TiO}_5$ با خواص بهبود یافته، مهم می‌باشد. با این حال گزارش‌های نادری روی تاثیر پودرهای آغازین، رفتار زینترینگ، ریزساختار و به طور خاص، خواص مکانیکی کامپوزیت‌های $\text{Al}_2\text{O}_3 - \text{Al}_2\text{TiO}_5$ وجود دارد [۳۰-۳۱]. فرآیند تشکیل کامپوزیت‌های $\text{Al}_2\text{O}_3 - \text{Al}_2\text{TiO}_5$ بر اساس سینتر واکنشی آلومینا و روتاپل با مقدار آلومینای اضافی می‌باشد. در شکل (۱) دیاگرام فازی مربوطه نشان داده شده است.



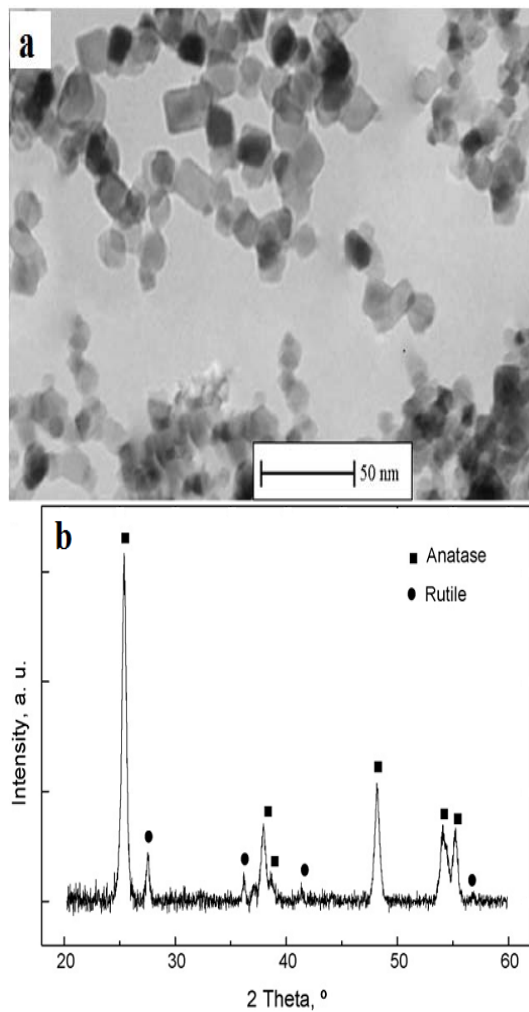
شکل (۱): دیاگرام فازی دوتایی $\text{Al}_2\text{O}_3 - \text{TiO}_2$

آلومینا و آلومینیوم تیتانات موادی با ویژگی‌های مهندسی عالی می‌باشند. سرامیک‌های Al_2TiO_5 موادی با مقاومت به شوک حرارتی عالی می‌باشند ولی از نظر خواص مکانیکی ضعیف هستند. از طرف دیگر، آلومینا دارای ویژگی‌های مناسبی از قبیل مقاومت سایشی عالی می‌باشد ولی مقاومت به شوک حرارتی پایینی دارند. از این‌رو با کامپوزیت کردن آلومینا و آلومینیوم تیتانات با یکدیگر

است [۷-۹]. به عنوان مثال، Al_2TiO_5 کاندیدای خوبی برای کاربردهایی از قبیل قطعات دارای مقاومت به شوک و عایق حرارتی خوب، صنعت متالورژی، صنعت شیشه، صنعت اتمبیل، دیرگذار، اجزای موتور، نگه دارنده‌های حرارتی و غیره می‌باشد [۱۰، ۹، ۷]. Al_2TiO_5 یک افزودنی مناسب است که به عنوان فاز ثانویه می‌تواند خواص حرارتی کامپوزیت‌های ماتریس سرامیکی را بهبود بخشد. علاوه بر این Al_2TiO_5 می‌تواند به عنوان فاز ثانویه برای بهبود چقرمگی شکست Al_2O_3 ، ناشی از افزایش تنش‌های موضعی باقی‌مانده تحریک شده به دلیل عدم انطباق زیاد بین ضرایب انساط حرارتی Al_2O_3 و Al_2TiO_5 به کار رود [۱۱-۱۶]. مشاهده شده است که افزودن Al_2TiO_5 به Al_2O_3 منجر به خواص بهتر تحمل عیوب می‌گردد [۱۱-۱۳]. کامپوزیت‌های سرامیکی $\text{Al}_2\text{O}_3 - \text{Al}_2\text{TiO}_5$ که شامل خواص مطلوب Al_2O_3 و Al_2TiO_5 بوده و خواص کاربردی همانند خواص ساختاری را نشان می‌دهد، کاربردهایی همچون پوشش نگه دارنده حرارتی، اجزای فیلتر اگزوز موتورهای دیزل و زیرلایه‌های سرامیکی دما بالا پیدا کرده است [۱۱-۱۴].

از طرف دیگر محققان [۱۷] نشان دادند که استحکام مکانیکی و چقرمگی بالای صدف، یک نانوکامپوزیت سرامیکی طبیعی، به چرخش و تعییر شکل دانه‌های نانو نسبت داده می‌شود که به پراکندگی انرژی در صدف کمک می‌کند. چندین تحقیق نشان داده است که کاهش اندازه دانه در سرامیک‌های آلومینایی منجر به بهبود خواص مکانیکی می‌شود [۲۲-۲۵]. استحکام مکانیکی سرامیک‌های Al_2TiO_5 نیز با کاهش اندازه دانه افزایش می‌یابد [۲۳]. خواص سرامیک‌های پایه آلومینا به شدت به ریز ساختار نهایی آنها بستگی دارد که به طور غیر قابل مجزا از ویژگی‌های پودرهای آغازین (اندازه، شکل، شیمی و غیره) تاثیر می‌پذیرد [۲۴]. کامپوزیت $\text{Al}_2\text{O}_3 - \text{Al}_2\text{TiO}_5$ را می‌توان به وسیله فرآیند سل-ژل، انجامداد هدایت شده، سوزاندن، فرآیند متالورژی پودر، پرس گرم و غیره تولید کرد [۲۷-۲۵ و ۲۷]. در کل، Al_2TiO_5 با استفاده از واکنش حالت جامد بین Al_2O_3 و TiO_2 شکل می‌گیرد که این به طور ترمودینامیکی بالای دمای یوتکتوئید 1280°C امکان پذیر است [۲۸]. بنابراین کامپوزیت $\text{Al}_2\text{O}_3 - \text{Al}_2\text{TiO}_5$ را

(P25, Degussa Co, Frankfurt Germany) TiO_2 نانوپودر با محدوده اندازه ذرات $11\text{-}22\text{ nm}$ و سطح ویژه $55/3 \text{ m}^2\text{g}^{-1}$ ۵۵/۳ جهت تهیه نانوکامپوزیت‌های الکترونی عبوری (TEM) پودرهای تیتانیا در شکل ۳a نشان داده شده است. نتایج XRD (Netherlands, Philips X'Pert) نشان داده شده است. نتایج XRD نشان داده شده است که نانوپودر تیتانیا در شکل ۳b مشاهده می‌شود. با اندازه‌گیری پودر تیتانیا به ترتیب دارای 22 nm و 33 nm درصد فاز آناتاز و روتایل مشاهده شد که می‌باشد. اندازه کریستالیت‌های آناتاز و روتایل با استفاده از رابطه شرمناسبه شد که به ترتیب برابر با 22 nm و 15 nm تعیین شد.



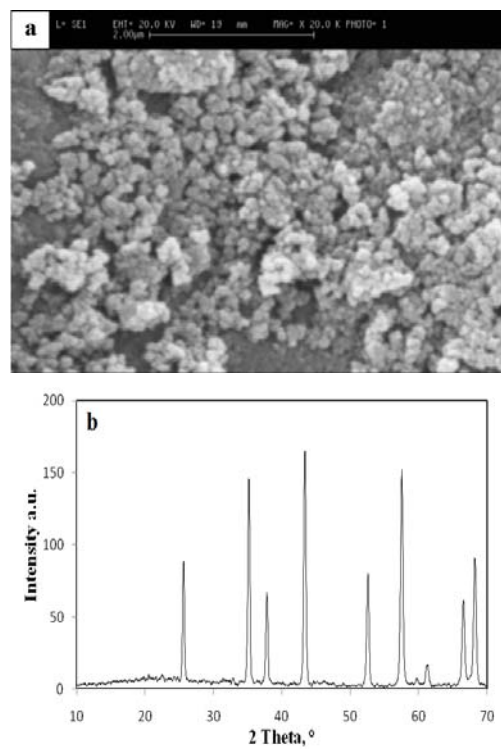
شکل ۳: XRD (b) و TEM (a) نانوپودر TiO_2

امکان دستیابی به کامپوزیت‌هایی با خواص مکانیکی بهتر و مقاومت به شوک حرارتی مناسب فراهم می‌شود. کامپوزیت‌های آلمینیا-آلومینیوم تیتانیات را می‌توان با استفاده از سینترینگ حالت جامد و سینترینگ پودرهای به دست آمده از روش سل-ریل تهیه کرد. در این کار، تاثیر پودرهای نانوساختار بر ریزساختار و خواص مکانیکی کامپوزیت‌های $\text{Al}_2\text{O}_3\text{-}20\text{wt\%Al}_2\text{TiO}_5$ مورد بررسی قرار گرفت.

۲- فعالیت‌های تجربی

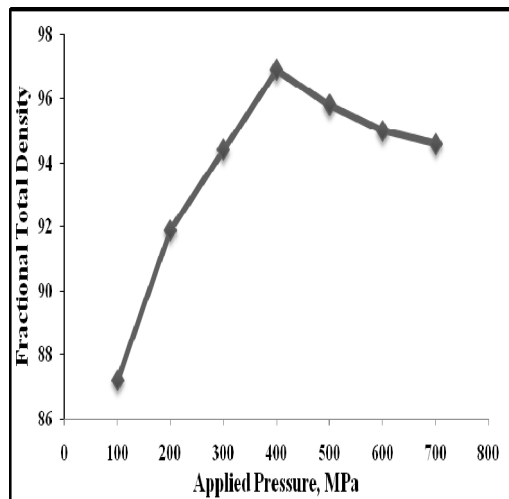
۲-۱- مواد اولیه

نانوپودر آلفا آلومینا با محدوده اندازه ذرات $5\text{-}150\text{ nm}$ (PL-A-AlO, Plasmachem, Germany) با سطح ویژه (BET, Gemini2375, USA) $23 \text{ m}^2\text{g}^{-1}$ کار استفاده شد که تصاویر میکروسکوپ الکترونی روبشی (SEM) و الگوی پراش اشعه ایکس (XRD) در شکل (۲) مشاهده می‌شود.



شکل ۲: XRD (b) و SEM (a) نانو پودر Al_2O_3

سانتی گراد و با سرعت گرمایش $10^{\circ}\text{C}/\text{min}$ صورت گرفت. شکل (۵) دانسیته نمونه‌های سینتر شده در دمای 1500°C در فشار پرس‌های مختلف نشان داده است. مشاهده می‌شود که با افزایش فشار پرس تا 400 MPa دانسیته نمونه‌ها افزایش و با افزایش بیشتر فشار پرس دانسیته کاهش می‌یابد. کاهش دانسیته با افزایش فشار پرس به علت ایجاد عیب لایه‌ای در حین شکل‌دهی نمونه‌ها می‌باشد. بنابراین فشار پرس بهینه جهت شکل‌دهی نمونه‌ها، 400 MPa می‌باشد.



شکل ۵: دانسیته نمونه‌های زینتر شده در دمای 1500°C در فشار پرس‌های مختلف.

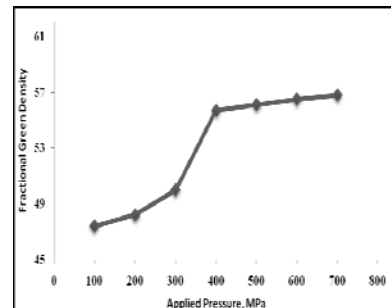
۴-۲-۲- روش انجام کار

۴-۲-۲- آماده سازی پودر نانوکامپوزیت

جهت آماده سازی پودر نانوکامپوزیت، پودرهای آلومینیا و تیتانیا با نسبت استوکیومتری درون کاپ‌های پلی اتیلنی با محیط ایزوپروپانول ریخته شدند و با استفاده از گلوله‌های آلومینیایی به مدت ۲۴ ساعت بالمیل شدند. سپس پودرهای کامپوزیتی به مدت ۳۰ دقیقه آلتراسونیک و در نهایت بر روی صفحه داغ خشک شدند. در ادامه جهت متراکم سازی بهتر پودرهای گرانولهایی با استفاده از الکهای مش ۳۰، ۵۰ و 80°C تهیه شدند.

۴-۲-۲-۲- متراکم سازی

جهت آماده سازی نمونه، پودرهای نانوکامپوزیت با استفاده از پرس یک محوره با فشار پرس $100-700 \text{ MPa}$ و به صورت قرص‌هایی با قطر 10 mm و ضخامت 3 mm پرس شدند. در شکل (۶) دانسیته نسبی پودرهای پرس شده در فشار پرس‌های مختلف مشاهده می‌شود. با افزایش فشار پرس از $100-400 \text{ MPa}$ دانسیته نسبی نمونه‌ها با سرعت زیادی از $47/4$ به $55/7$ افزایش می‌یابد و با افزایش بیشتر فشار پرس تغییر زیادی در دانسیته مشاهده نمی‌شود. همچنین مشاهده می‌شود که افزایش فشار پرس از 300 MPa به 400 MPa دانسیته به شدت افزایش می‌یابد که علت آن را می‌توان به شکسته شدن آگلومرها نسبت داد.



شکل ۶: دانسیته خام نمونه‌های پرس شده در فشار پرس‌های مختلف.

$$H_v = 1.854 P/d^2 \quad (1)$$

$$K_{IC} = 0.0016(E/H_v)^{1/2}(P/C^{3/2}) \quad (2)$$

در اینجا H_v ، E ، d ، P ، K_{IC} و C به ترتیب سختی ویکرز، نیروی اعمالی، قطر اثر، مدول یانگ، چقلمگی و طول ترک است [۳۳].

۳-۲-۲- سینترینگ

سینترینگ قطعات خام با استفاده از کوره‌های معمولی و در اتمسفر هوا و در دمای 1300 ، 1400 و 1500 درجه

جدول ۱: دانسیته نسبی، دانسیته ارشمیدس و تخلخل نمونه‌های زینتر شده در دماهای مختلف.

نمونه	تخلخل % باز	دانسیته ارشمیدس (g/cm ³)	دانسیته نسبی %
۱۳۰۰	۸/۳	۳/۴۱	۸۷/۳
۱۴۰۰	۵/۴	۳/۵۹	۹۲/۱
۱۵۰۰	۳/۱	۳/۷۸	۹۶/۹

در شکل ۶a-С تصاویر SEM نمونه‌ها در بزرگنمایی بالا مشاهده می‌شود. در اینجا مشاهده می‌شود که فصل مشترک مناسی بین دانه‌ها ایجاد شده است که نشان دهنده زینترینگ مناسب می‌باشد که همین اتصال مناسب دانه‌ها منجر به افزایش خواص مکانیکی می‌گردد. نتایج حاصل از سختی سنجی و چقرومگی شکست نمونه‌های زینتر شده در دماهای مختلف در جدول (۲) مشاهده می‌شود. همانطور که دیده می‌شود با افزایش دما سختی و چقرومگی شکست افزایش می‌یابد که این ناشی از فصل مشترک مناسب بین دانه‌ها می‌باشد.

جدول ۲: سختی و چقرومگی نمونه‌های سینتر شده در دماهای مختلف.

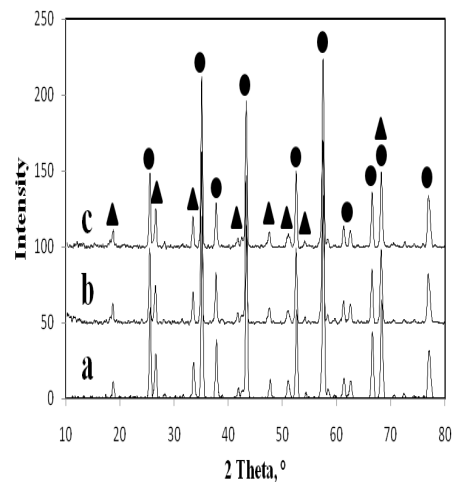
نمونه	سختی Gpa	چقرومگی شکست MPam ^{1/2}
۱۳۰۰	۴/۸±۰/۸	۲/۶۸±۰/۱۳
۱۴۰۰	۶/۲±۰/۵	۳/۴±۰/۱
۱۵۰۰	۸/۵±۰/۹	۴/۲۸±۰/۳

۴- نتیجه‌گیری

کامپوزیت Al₂O₃-20wt% Al₂TiO₅ به صورت زینتر واکنشی بین پودرهای نانوکاپوزیت Al₂O₃ و TiO₂ در دماهای مختلف تهیه شد. دانسیته و تخلخل نمونه‌ها با افزایش دما به ترتیب افزایش و کاهش یافت. نتایج الگوی پراش اشعه ایکس (XRD) نشان داد که در تمام دماهای سینترینگ و TiO₂ به طور کامل با Al₂O₃ واکنش کرده و فازهای اصلی Al₂TiO₅ و Al₂O₃ می‌باشد. نتایج به دست آمده از خواص مکانیکی افزایش سختی و چقرومگی شکست نمونه‌ها با افزایش دما را نشان می‌دهد که ناشی از فصل مشترک مناسب بین دانه‌های نانوکامپوزیت می‌باشد.

۳- نتایج و بحث

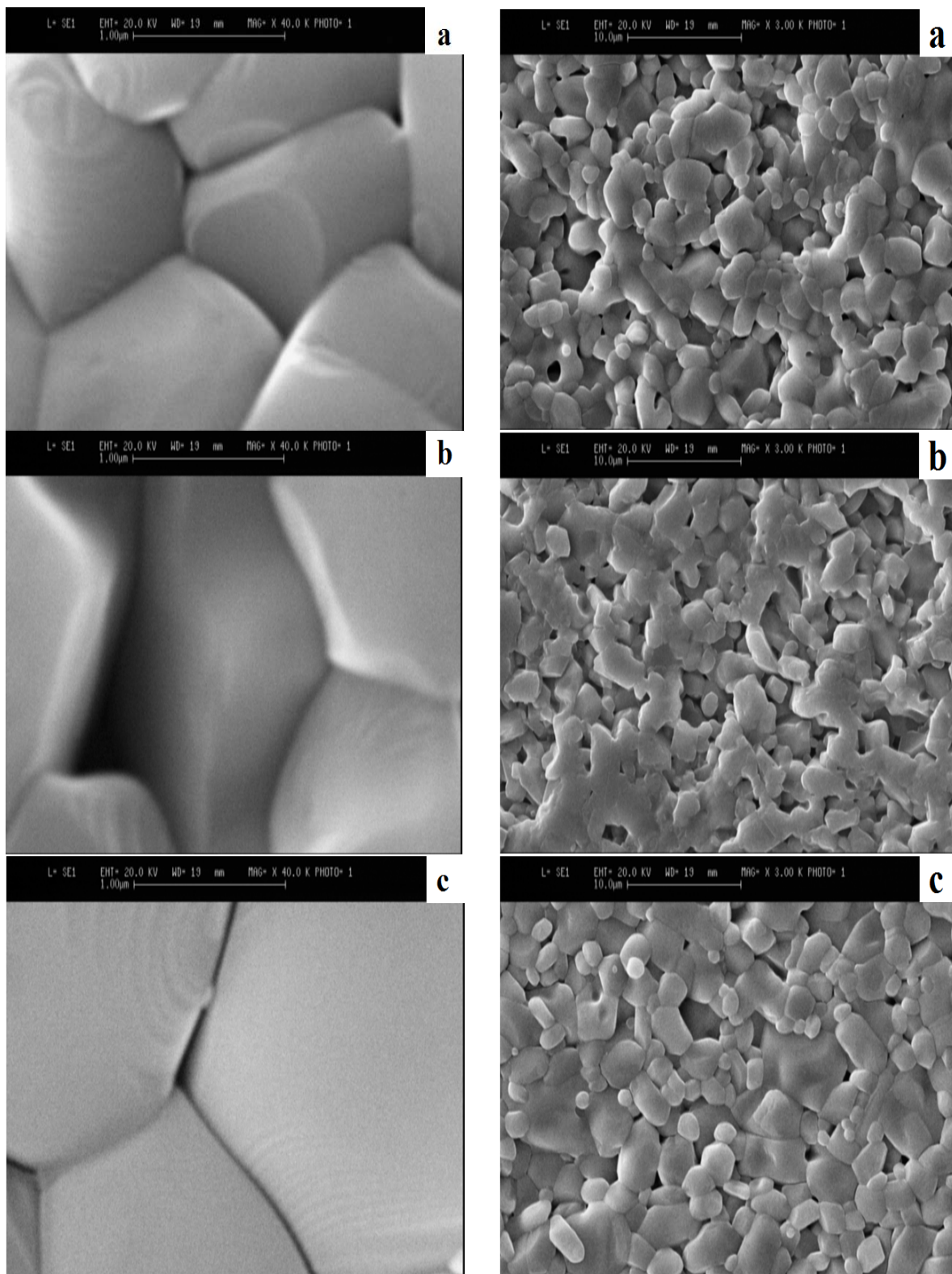
الگوی پراش اشعه ایکس (XRD) نمونه‌های Al₂O₃/TiO₂ زینتر شده در دماهای ۱۳۰۰، ۱۴۰۰ و ۱۵۰۰ درجه سانتی گراد در شکل (۴) نشان داده شده است. مشاهده می‌شود که با زینترینگ پودرها در دماهای مختلف، فازهای اصلی فقط Al₂TiO₅ و Al₂O₃ می‌باشد، که در نتیجه زینتر واکنشی بین Al₂O₃ و TiO₂ ایجاد شده است. همچنین در نتایج الگوی پراش اشعه ایکس (XRD) پیک‌های TiO₂ دیده نمی‌شود که این نشان دهنده واکنش کامل TiO₂ با Al₂O₃ می‌باشد.



شکل ۶: الگوی پراش اشعه ایکس (XRD) نمونه‌های زینتر شده در دماهای (a) ۱۳۰۰°C (b) ۱۴۰۰°C و (c) ۱۵۰۰°C (▲: آلمینیوم تیتانات، ●: آلفا آلومینا).

دانسیته نسبی، دانسیته ارشمیدس و تخلخل نمونه‌های زینتر شده در دماهای مختلف در جدول (۱) نشان داده شده است. همانطور که مشاهده می‌شود با افزایش دما از ۱۳۰۰-۱۵۰۰°C، دانسیته و تخلخل به ترتیب افزایش و کاهش می‌یابد.

تصاویر میکروسکوپ الکترونی روشنی (SEM) نمونه‌های زینتر شده در دماهای مختلف با بزرگنمایی پایین در شکل ۵a-С مشاهده می‌شود. همانطور که دیده می‌شود با افزایش دما اندازه دانه‌ها و میزان تخلخل نمونه‌ها به ترتیب افزایش و کاهش می‌یابد. از طرف دیگر با افزایش دما هندسه شکل دانه‌ها یکنواخت‌تر می‌شود.



شکل ۸: تصاویر میکروسکوپ الکترونی رویشی (SEM) نمونه های با بزرگنمایی بالا زینتر شده در دماهای ۱۴۰۰ °C (a)، ۱۳۰۰ °C (b) و ۱۵۰۰ °C (c)

شکل ۷: تصاویر میکروسکوپ الکترونی رویشی (SEM) نمونه های با بزرگنمایی پایین زینتر شده در دماهای ۱۴۰۰ °C (a)، ۱۳۰۰ °C (b) و ۱۵۰۰ °C (c)

مراجع

- [17] X.D. Li, Z.H. Xu, R.Z. Wang, *Nano Lett.*, **6**, 2006, 2301.
- [18] M.A. Meyers, A. Mishra, D.J. Benson, *Prog. Mater. Sci.*, **51**, 2006, 427.
- [19] A. Mukhopadhyay, B. Basu, *Int. Mater. Rev.*, **52**, 2007, 257.
- [20] V. Soman, S.J. Kalita, *J. Am. Ceram. Soc.*, **90**, 2007, 2372.
- [21] V. Viswanathan, T. Laha, K. Balani, A. Agarwal, S. Seal, *Mater. Sci. Eng. R.*, **54**, 2006, 121.
- [22] M.G. Lines, *J. Alloys Compd.*, **449**, 2008, 242.
- [23] M. Nagano, S. Nagashima, H. Maeda, A. Kato, *Ceram. Int.*, **25**, 1999, 681.
- [24] J. Li, Y. Pan, F. Qiu, L. Huang, J. Guo, *Mater. Sci. Eng. A*, **435**, 2006, 611.
- [25] M. Jayasankar, S. Ananthakumar, P. Mukundan, K.G.K. Warrier, *Mater. Lett.*, **61**, 2007, 790.
- [26] M. Jayasankar, S. Ananthakumar, P. Mukundan, W. Wunderlich, K.G.K. Warrier, *J. Solid State Chem.*, **181**, 2008, 2748.
- [27] M.H. Berger, A. Sayir, *J. Eur. Ceram. Soc.*, **28**, 2008, 2411.
- [28] I.M. Low, Z. Oo, *Mater. Chem. Phys.*, **111**, 2008, 9.
- [29] S.Y. Park, S.W. Jung, Y.B. Chung, *Ceram. Int.*, **29**, 2003, 707.
- [30] R.G. Duan, G.D. Zhan, J.D. Kuntz, B.H. Kear, A.K. Mukherjee, *Mater. Sci. Eng. A*, **373**, 2004, 180.
- [31] J. Mani, S. Ananthakumar, P. Mukundan, K.G. Warrier, *J. Am. Ceram. Soc.*, **90**, 2007, 3091.
- [32] B.D. Cullity, 2nd, Addison Wesley Publishing Company, Inc., Massachusetts, 1978, 100.
- [33] M. Mazaheri, M. Valefi, Z. Razavi Hesabi, S.K. Sadrnezaad, *Ceram. Int.*, **35**, 2009, 13.
- [1] L.A. Bendersky, A.J. Zambano, *Mater. Sci. Eng. B*, **142**, 2007, 139.
- [2] Q. Yan, Z. Huang, G.Y. Wang, D. Jiang, *J. Alloys Compd.*, **461**, 2008, 436.
- [3] Z. Xiu, J. Laeng, X. Sun, Q. Li, S.K. Hur, Y. Liu, *J. Alloys Compd.*, **458**, 2008, 398.
- [4] Q. Yan, G.Y. Wang, Z. Huang, D. Jiang, *J. Alloys Compd.*, **467**, 2009, 438.
- [5] J.F. Bartolome, C.F. Gutierrez-Gonzalez, R. Torrecillas, *Compos. Sci. Technol.*, **68**, 2008, 1392.
- [6] C.J. Wang, C.Y. Huang, *Mater. Sci. Eng. A*, **492**, 2008 306.
- [7] C.H. Chen, H. Awaji, *J. Eur. Ceram. Soc.*, **27**, 2007, 13.
- [8] R. Naghizadeh, H.R. Rezaie, F. Golestan-Fard, *Mater. Sci. Eng. B*, **157**, 2009, 20.
- [9] T. Ono, Y. Sawai, M. Ikimi, S. Obata, O. Sakurada, M. Hashiba, *Ceram. Int.*, **33**, 2007, 879.
- [10] R.D. Skala, D. Li, *J. Eur. Ceram. Soc.*, **29**, 2009, 67.
- [11] N.P. Padture, S.J. Bennison, H.M. Chan, *J. Am. Ceram. Soc.*, **76**, 1993, 2312.
- [12] J.L. Runyan, S.J. Bennison, *J. Eur. Ceram. Soc.*, **7**, 1991, 93.
- [13] I.M. Low, *Mater. Res. Bull.*, **33**, 1998, 1475.
- [14] C. Baudin, M.H. Berger, *Acta Mater.*, **54**, 2006, 3835.
- [15] S. Bueno, M.H. Berger, R. Moreno, C. Baudin, *J. Eur. Ceram. Soc.*, **28**, 2008, 1961.
- [16] S. Bueno, M.G. Hernandez, T. Sanchez, J.J. Anaya, C. Baudin, *Ceram. Int.*, **34**, 2008, 181.